

序 質水池の濁り、汚濁河川の濁り、汚染の影響を受ける湖水や海洋では、水中に浮遊する微細粒子が主役を演ずる。微細粒子の構成は、細砂、シルト、粘土、重金属などの無機物のほか、微生物及び他の有機物などが一般的で、その濃度や物質構成が広い意味での水質を支配している。このような微細物質の物理的的な性質、生物化学的な研究は強力に推進されているが、流れの中の挙動については未知の点が多く、水域の水質を空間的時間的に的確に評価し得るには至っていない。

微細物質を物理的にみれば溶解物質もしくは沈降性物質ということになり、後者を流れが一次元的とみなせる水環境で数式化すれば次式となる。

$$\frac{\partial C}{\partial t} + U \frac{\partial C}{\partial x} = D \frac{\partial^2 C}{\partial x^2} + R \quad (1)$$

ここで C: 物質濃度、D: 分散現象にかかる係数、R: 発生消滅にかかる評価値。

そして、その物質の輸送特性を解明することは、その水環境での R の評価を確定することにほかならない。筆者は微細粒子には違ないが、塊形状のコーカス粉 (0.088mm のフルイを通過したもの) と花片形状ともつかないの二種の沈降性物質を用いて水路実験で R を評価し、両者に大きな違いがあることを見出だした。このような単純な素材を用いても、微細粒子の流送が複雑な性格をもつものであることを紹介したい。

実験装置と濃度分布特性 実験水路は幅50cm 長さ20m の傾斜水路で、上流端で約500ppm のコーカス粉またはカオリン溶液を幅方向に一様に連続投入する。更にその直下流で底板からの気泡発生 (気泡至約1mm) によってよく混合し上流断面で濃度を一様にする。No.1 の上流断面から下流に3m 間隔で No.6 まで濃度観測断面とする。濃度はレーザー光を発光部とするグラスファイバー・プローブによる透光式濃度計で、深さ方向に2cm 間隔で測定する。流れの水理諸量は表に示す通りで、等流状態で流している。

濃度変化の例を図-2、図-3 に示す。共に流下方向の濃度パターンは類似しており、それはまた別に行なった静水中の沈降実験の結果とも似ている。しかし濃度は非定常変化であり、沈降速度が微小な物質であるため、厳密に検討すればコーカス、カオリンの別により、また静水、流水の別により、現象が異なって力学的な相似性はないようだ。

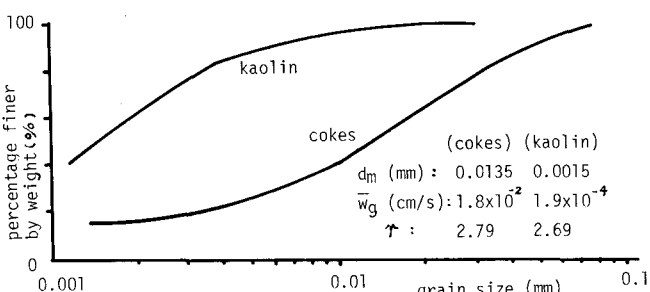


図-1 コーカス、カオリンの粒子特性

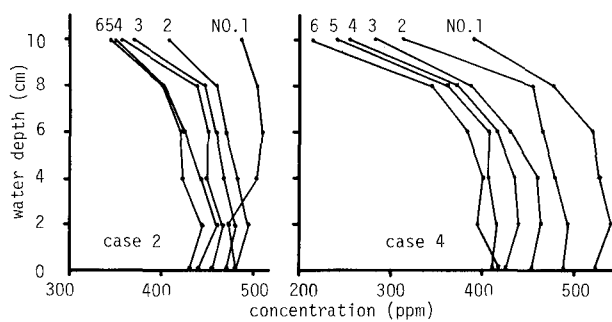


図-2 流水中のコーカス粉濃度

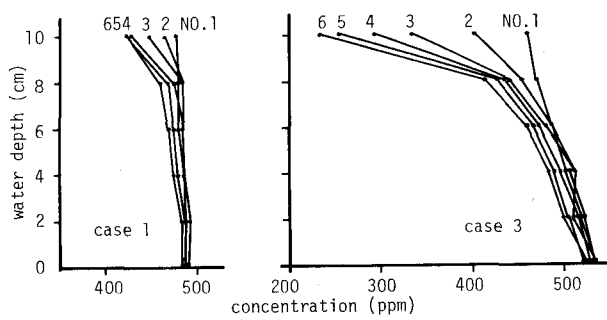


図-3 流水中のカオリン濃度

濃度変化の特性：式(1)で  $\dot{C} = C - C_0$  の変換を施し、実験では観測区間が短かいことから分散項が省略できるものとすると

$$\frac{\partial C}{\partial t} = R \quad (2)$$

$R$  が多くの生物化学的反応と同様に一次反応で示されるものと仮定すれば  $R = -\alpha \cdot C$  であり、式(2)の解は、初期条件  $C = C_0$  のもとで、

$C = C_0 \exp(-\alpha t_3)$  となる。一次元解析で現象が十分説明できる観察的観察下では、この  $\alpha$  の特性を調べることにより、沈降性物質の輸送特性をある程度把握できるはずである。 $\alpha$  は図2, 3 に示す濃度分布と水深方向に平均し、測定 No.1 から No.6 までの変化を調べることにより求まる。図-4 の横軸は No.1 と原点として各点までの流下距離を平均流速で除した経過時間(平均流速時間)  $t_3$  を示している。

コーカス物では流れの状態に影響されず一つの直線で表わされるが、 $\alpha$  は一定ではなく時間的に減少する。この場合には一次元解析は容易でなく、数式化に当てもう少し力学的な機構を追求する必要がある。一方、カオリソは流れの状態で  $\alpha$  の値は異なるが、それが流れの状態で  $\alpha$  に対しある減少がみられるが値は一定のようである。この場合には一次元解析は容易である。さらにカオリソの場合、それぞれの case につき  $\alpha$  を平均して  $\bar{\alpha}$  を求めると図-5 の関係が得られ、流れの状態から  $\bar{\alpha}$  を予測することも可能である。以上のよう

に微細な沈降性物質であっても、コーカスのように塊状で混合粒径をもつものは粒径の異なる各粒子がそれぞれの沈降特性をもつて、乱れの中で一層複雑な挙動をするものもあるし、カオリソのように花片状であるため沈降特性がいかゆる粒径の影響を受けているように考えられるものもある。

静水実験との関係：静水中の平均濃度の減衰係数を  $\bar{\alpha}_0$  とおくと、乱れのある流れでは図-5 に示すように一般に  $\bar{\alpha} < \bar{\alpha}_0$  である。従来では流れ場の沈降量推定式として、静水の  $\bar{\alpha}_0$  を基準にして、沈降経過時間  $t_3$  を乱れの大きさ(伴)で短かく評価してやるという方法、たとえば

$$C = C_0 \exp \left\{ -\bar{\alpha}_0 \left( 1 - U_* / U_{*c} \right) t_3 \right\}, \quad U_* \equiv U_{*c} \quad (3)$$

が使われてきた。<sup>1), 2)</sup> ここで  $U_{*c}$  : 沈降が開始し得るときの  $U_*$  である。

しかし、図-5 でみる限りどう单纯ではなく、 $\bar{\alpha} = \bar{\alpha}_0 \exp(-\beta U_* / U_{*c})$  となるようである。ただ、このような式化は沈降性物質の材料によって大きく異なることが予想され、現場の観測結果<sup>3)</sup>をみてわかるように、沈降と表面の関係にある流域浮上との関連もありそうである。

謝辞：この研究を進めるに当たり大阪大学 室田明教授に有益なコメントを貰った。また実験は当時大阪大生 上田真造氏が担当したものである。合せて謝意を表す。

参考文献 1) K. Muraoka: Tech. Repts of Osaka Univ., Vol. 25, No. 1249, 1975. 2) C. R. Ariathurai; Ph.D.Thesis, UC Davis, Sep., 1974. 3) 村岡、白石、上田; 土木年譲 II-85, 1977.

case no.	流量 $Q$ $\text{L/s}$	平均流速 $U$ $\text{cm/s}$	マサ速度 $U_*$ $\text{cm/s}$
コ ク ス	1	2.0	3.57
	2	1.5	2.73
	3	1.0	1.89
	4	0.5	0.98
カ オ リ ソ	1	1.0	1.89
	2	0.75	1.44
	3	0.5	0.98
	4	0.25	0.50

Fr 数: 0.034 ~ 0.002

Re 数: 3900 ~ 550

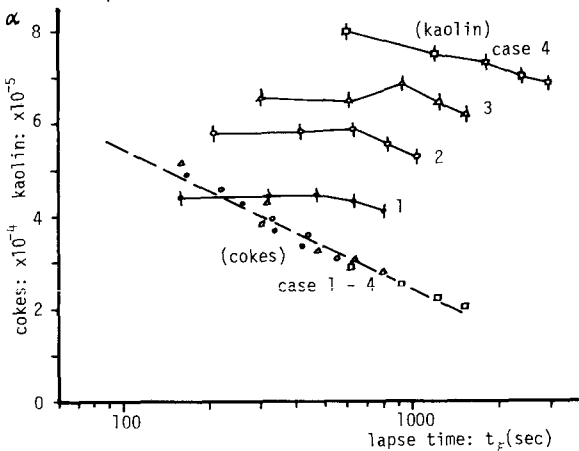


図-4 減衰係数  $\alpha$  と経過時間との関係

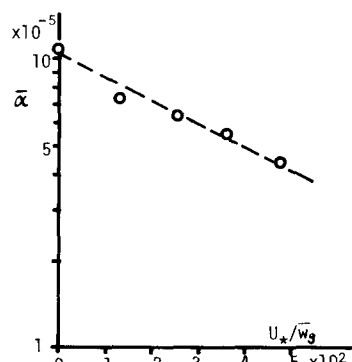


図-5 カオリソの  $\bar{\alpha}$  と  $U_*$  との関係